Twister PROGENESIS TWISTER

0200HO12646 MAGNIFIQUE x ZAZZLE x ACHIEVER

GENOMAX GRAZINGPRO

PEAK MAGNIFIQUE
PROGENESIS ZAZZLE TWIGGY VG-87-3YR-CAN
PEAK ZAZZLE
PROGENESIS ACHIEVER TYPHOON VG-85-4YR-CAN
ABS ACHIEVER
OCD JEDI TAYA 37904 VG-86-4YR-USA 1*

PROGENESIS ZAZZLE TWIGGY
DAM

PROGENESIS ZAZZLE TWIGGY
DAM

GTPI 3171

TD TR TL TY MWT TV 99%-I HH1F HH2F HH3F HH4F HH5F HH6F HCDF HMWF

Reg. #: HOCANM14227141	aAa: 342156	AVM:
Nasc: 03/24/2022	Kappa Caseína: AB	Beta Caseína: A1A1

PRODUÇÃO G Rebanhos G Filhas 82% Rep. CDCB-G / 04-25

Leite lbs	Gordura lbs	Gordura %	Proteína lbs	Proteína %
38	**90**	**+0.34**	**37**	**+0.14**
NM$ **698**	CM$ **753**	FM$ **573**	GM$ **677**	DWP$ **734**
Eficiência Alimentar **211**	RFI **14**	Economia Alimentar **-163**	Eficiencia em Metano **106**	

SAÚDE e REPRODUÇÃO **Immunity 102**

Vida Produtiva	**2.8**	Imunidade das Vitelas	**92**
C.S.	**2.80**	Taxa Concepção Vacas	**1.5**
Taxa de Prenhez das Filhas	**0.5**	Taxa Concepção Novilhas	**0.0**
Sobrevivência	**1.8**	Facilidade de Parto	**2.1%** 63% Rep.
Sobrevivencia Novilhas	**-0.1**	Facilidade de Parto das Filhas	**1.9%** 62% Rep.
Índice de Fertilidade	**0.9**	Mortalidade das Crias	**5.8%**
		Mortalidade das Crias das Filhas	**4.3%**

CONFORMAÇÃO G Rebanhos G Filhas 80% Rep. HAUSA-G / 04-25

PTAT	**0.05**	Composto Corporal	**0.91**
Úbere Comp.	**0.32**	Composto Leiteiro	**-0.66**
P&P Comp.	**-0.17**		

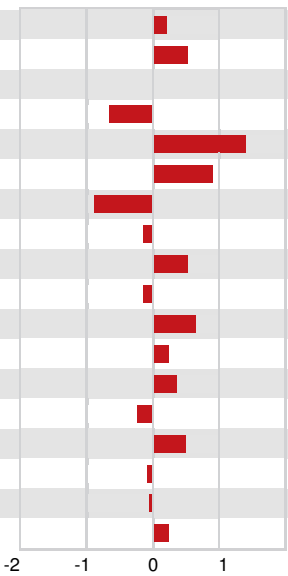

Estatura	Alta	**+0.19**
Força	Forte	**+0.54**
Profundidade de Corpo	Raso	**0.00**
Angulosidade	Costelas Fechadas	**-0.68**
Ângulo de Garupa	Ísquios Baixos	**+1.41**
Largura Garupa	Larga	**+0.95**
Pernas Vistas de Lado	Retas	**-0.90**
Pernas Vistas de Trás	Fechadas	**-0.14**
Ângulo Casco	Forte	**+0.55**
P&P Pontuação	Baixa	**-0.13**
Inserção Úbere Anterior	Forte	**+0.65**
Altura Úbere Posterior	Alta	**+0.24**
Largura Úbere Posterior	Larga	**+0.38**
Lig. Médio	Fraco	**-0.23**
Profundidade Úbere	Raso	**+0.49**
Coloc. Tetos Anteriores	Abertos	**-0.08**
Comprimento Tetos Anteriores	Curtos	**-0.04**
Coloc. Tetos Posteriores	Centralizados	**+0.22**